

C Siehe ähnliche Dateien: http://www.ps.bam.de/TG16/10L/L16G04SP.PS/PDF

M Technische Information: http://www.ps.bam.de/TG16/10L/L16G04SP.PS/PDF

O Version 2.1, io=1,1?

V

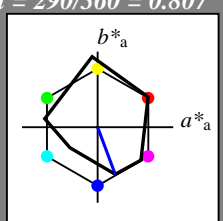
Eingabe: Farbmertisches Reflexions-System MRS18a

für Bunton $h^* = lab^*h = 290/360 = 0.807$
 lab^*tch und lab^*nch

D65: Bunton B

LCH^{*}Ma: 37 66 290
 $olv^*Ma: 0.0\ 0.0\ 1.0$

Dreiecks-Helligkeit t^*



relative Inform. Technology (IT)
 $olv^* 1.0\ 1.0\ 1.0\ (1.0)$
 $cmy^* 0.0\ 0.0\ 0.0\ (0.0)$
 $olv^* 1.0\ 1.0\ 1.0\ 1.0$
 $cmy^* 0.0\ 0.0\ 0.0\ 0.0$

standard and adapted CIELAB
 $LAB^*LAB 95.41\ 0.0\ 0.0$
 $LAB^*LABa 95.41\ 0.0\ 0.0$
 $LAB^*TChA 99.99\ 0.01\ -$

relative CIELAB lab*

$lab^*lab 1.0\ 0.0\ 0.0$
 $lab^*tch 1.0\ 0.0\ -$
 $lab^*nch 0.0\ 0.0\ -$

relative Natural Colour (NC)

$lab^*lrij 1.0\ 0.0\ 0.0$
 $lab^*ice 1.0\ 0.0\ -$
 $lab^*nCE 0.0\ 0.0\ -$

relative Inform. Technology (IT)
 $olv^* 0.5\ 0.5\ 0.5\ (1.0)$
 $cmy^* 0.5\ 0.5\ 0.5\ (0.0)$
 $olv^* 1.0\ 1.0\ 1.0\ 0.5$
 $cmy^* 0.0\ 0.0\ 0.0\ 0.5$

standard and adapted CIELAB
 $LAB^*LAB 56.71\ 0.05\ 0.0$
 $LAB^*LABa 56.71\ 0.0\ 0.0$
 $LAB^*TChA 50.0\ 0.01\ -$

relative CIELAB lab*

$lab^*lab 0.5\ 0.0\ 0.0$
 $lab^*tch 0.5\ 0.0\ -$
 $lab^*nch 0.5\ 0.0\ -$

relative Natural Colour (NC)

$lab^*lrij 0.5\ 0.0\ 0.0$
 $lab^*ice 0.5\ 0.0\ -$
 $lab^*nCE 0.5\ 0.0\ -$

relative Inform. Technology (IT)
 $olv^* 0.0\ 0.0\ 0.0\ (1.0)$
 $cmy^* 1.0\ 1.0\ 1.0\ (0.0)$
 $olv^* 1.0\ 1.0\ 1.0\ 0.0$
 $cmy^* 0.0\ 0.0\ 0.0\ 1.0$

standard and adapted CIELAB
 $LAB^*LAB 18.02\ 0.1\ 0.02$
 $LAB^*LABa 18.02\ 0.0\ 0.0$
 $LAB^*TChA 0.01\ 0.01\ -$

relative CIELAB lab*

$lab^*lab 0.0\ 0.0\ 0.0$
 $lab^*tch 0.0\ 0.0\ -$
 $lab^*nch 1.0\ 0.0\ -$

relative Natural Colour (NC)

$lab^*lrij 0.0\ 0.0\ 0.0$
 $lab^*ice 0.0\ 0.0\ -$
 $lab^*nCE 1.0\ 0.0\ -$

$n^* = 1.0$

MRS18a; adaptierte CIELAB-Daten

$L^*=L^*_a\ a^*_a\ b^*_a\ C^*_{ab,a}\ h^*_{ab,a}$

	RMa	JMa	GMa	G50BMa	BMa	B50RMa	NMa	WMa	RCIE	JCIE	GCIE	BCIE
L^*	49.63	66.8	40.02	77.87	31							
a^*		-7.27	93.19	93.48	94							
b^*		-69.93	11.26	70.85	171							
$C^*_{ab,a}$			-36.65	-27.13	45.61	217						
$h^*_{ab,a}$					290							

lab^*tch und lab^*nch

%Umfang

$u^*_{rel} = 92$

%Regularität

$g^*_{H,rel} = 42$

$g^*_{C,rel} = 49$

Ausgabe: Farbmertisches Reflexions-System ORS18

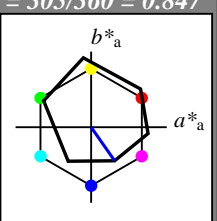
für Bunton $h^* = lab^*h = 305/360 = 0.847$
 lab^*tch und lab^*nch

D65: Bunton V

LCH^{*}Ma: 26 54 305

$olv^*Ma: 0.0\ 0.0\ 1.0$

Dreiecks-Helligkeit t^*



%Umfang

$u^*_{rel} = 93$

%Regularität

$g^*_{H,rel} = 57$

$g^*_{C,rel} = 59$

ORS18; adaptierte CIELAB-Daten

$L^*=L^*_a\ a^*_a\ b^*_a\ C^*_{ab,a}\ h^*_{ab,a}$

	OMa	YMa	LMa	CMa	VMa	MMa	NMa	WMa	RCIE	JCIE	GCIE	BCIE
L^*	47.94	65.37	50.52	82.62	38							
a^*		-10.27	91.77	92.34	96							
b^*		-62.79	34.95	71.87	151							
$C^*_{ab,a}$		-30.35	-45.01	54.3	236							
$h^*_{ab,a}$					305							

lab^*tch und lab^*nch

$n^* = 0,00$

Schwarzheit n^*

$n^* = 1,00$

$relative\ Buntheit\ c^* : 0.25\ 0.50\ 0.75\ 1.00$

$n^* = 0,00$

$n^* = 0,00$

Schwarzheit n^*

$n^* = 1,0$

$n^* = 0,00$

$relative\ Buntheit\ c^* : 0.25\ 0.50\ 0.75\ 1.00$

$n^* = 1,0$

TG16-7, 3 stufige Reihen für konstanten CIELAB Bunnton 290/360 = 0.807 (links)
BAM-Prüfvorlage TG16; Farbmertik-Systeme ORS18 & ORS18 input: $olv^* setrgbcolor$
D65: 2 Koordinaten-Daten von 3stufigen Farbreihen für 10 Bunntöne output: Startup (S) data dependend

3 stufige Reihen für konstanten CIELAB Bunnton 305/360 = 0.847 (rechts)
BAM-Prüfvorlage TG16; Farbmertik-Systeme ORS18 & ORS18 input: $olv^* setrgbcolor$
D65: 2 Koordinaten-Daten von 3stufigen Farbreihen für 10 Bunntöne output: Startup (S) data dependend

